

## Alcune basi matematiche del Ray-Tracing

✓ Vediamo, a titolo di esempio:

⇒ come rappresentare un raggio

⇒ Come rappresentare alcune

**primitive di rendering** (piani e sfere)



Ciò che può essere renderizzato direttamente  
(tutto il resto, deve essere *scomposto* in primitive)  
Quindi, per gli algoritmi di ray-tracing: ciò che sono in  
grado di intersecare con un raggio

⇒ come manipolare un raggio (creazione raggio primario,  
computo raggi secondari di riflessione, rifrazione,  
shadowing)

⇒ come computare l'intersezione di un raggio con alcune  
**primitive di rendering** (piani e sfere)



27

## Costruzione del raggio primario (per un pixel)

✓ Punto di partenza **p**:

⇒ il punto di fuoco della pin-hole camera

⇒ cioè la posizione del «buco di spillo»

⇒ cioè il Point of View (PoV)

✓ Direzione  $\vec{d}$ :

⇒ Passo 1: individuare la posizione **q** del pixel sul  
piano immagine

⇒ La direzione è data da

$$\vec{d} = \frac{\mathbf{q} - \mathbf{p}}{\|\mathbf{q} - \mathbf{p}\|}$$

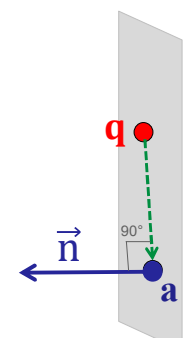
La normalizzazione non è  
strettamente necessaria,  
ma avere raggi con direzione  
espressa da un vettore unitario  
può essere comodo



30

### Esempio: Intersezione Raggio – Piano 1/3

- ✓ piano definito da: un punto su di esso  $\mathbf{a}$  e il suo vettore normale  $\vec{\mathbf{n}}$  (l'orientamento del piano)
- ✓ punti su piano: cioè tutti i punti  $\mathbf{q}$  tali che il vettore  $(\mathbf{a} - \mathbf{q})$  è ortogonale ad  $\vec{\mathbf{n}}$ , cioè  $(\mathbf{a} - \mathbf{q}) \cdot \vec{\mathbf{n}} = 0$
- ✓ intersecare il piano con un raggio dato  $(\mathbf{p}, \vec{\mathbf{d}}) =$  trovare un  $k$  (se  $\exists$ ) t.c.  $(\mathbf{p} + k\vec{\mathbf{d}})$  sia un punto sul piano

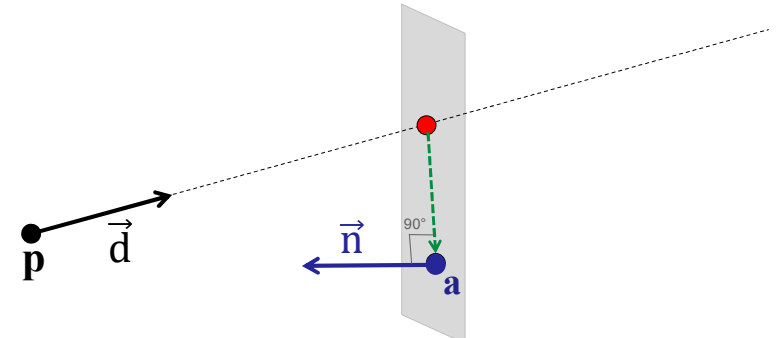


Piano passante per il punto  $\mathbf{a}$  e avente normale  $\vec{\mathbf{n}}$



31

### Esempio: Intersezione raggio piano 2/3



intersecare raggio con sfera = trovare un  $k \geq 0$  (se  $\exists$ ) tale che

Il vettore verde

$$\left( \mathbf{a} - \underbrace{(\mathbf{p} + k\vec{\mathbf{d}})}_{\text{Il punto rosso}} \right) \cdot \vec{\mathbf{n}} = 0$$

Il punto rosso

perché so che il vettore verde deve essere ortogonale ad  $\vec{\mathbf{n}}$



32

### Esempio: Intersezione raggio piano 3/3

Trovo  $k$  (che è l'unica incognita) manipolando l'equazione

$$\begin{aligned} (\mathbf{a} - (\mathbf{p} + k\vec{\mathbf{d}})) \cdot \vec{\mathbf{n}} &= 0 \\ \Leftrightarrow ((\mathbf{a} - \mathbf{p}) - k\vec{\mathbf{d}}) \cdot \vec{\mathbf{n}} &= 0 \\ \Leftrightarrow (\mathbf{a} - \mathbf{p}) \cdot \vec{\mathbf{n}} - k(\vec{\mathbf{d}} \cdot \vec{\mathbf{n}}) &= 0 \\ \Leftrightarrow k &= \frac{(\mathbf{a} - \mathbf{p}) \cdot \vec{\mathbf{n}}}{\vec{\mathbf{d}} \cdot \vec{\mathbf{n}}} \end{aligned}$$

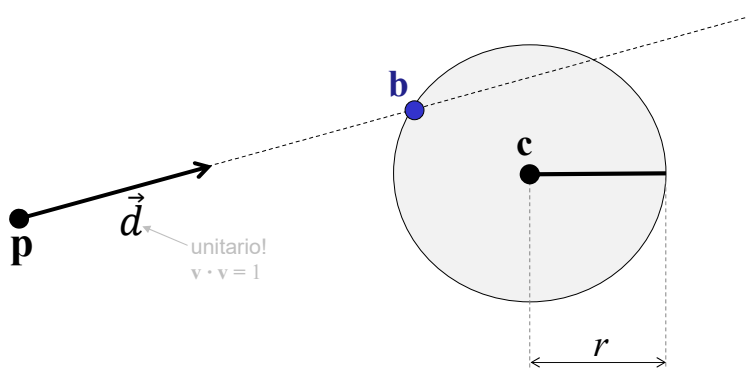
Se  $\vec{\mathbf{d}} \cdot \hat{\mathbf{n}} = 0$ , div per zero.  
 Ma se è così, allora il raggio è ortogonale a  $\hat{\mathbf{n}}$  cioè corre parallelo al piano: no intersez.

Se  $k > 0$ , allora il raggio interseca il piano, e l'intersezione è alla posizione  $\mathbf{a} + k\vec{\mathbf{d}}$   
 altrimenti, il raggio non interseca il piano



33

### Esempio: Intersezione raggio sfera 1/3



sfera (come superficie implicita):

$$f(\mathbf{q}) = 0 \quad \text{con} \quad f(\mathbf{q}) = \|\mathbf{q} - \mathbf{c}\|^2 - r^2$$

intersecare raggio con sfera = trovare un  $k \geq 0$  (se  $\exists$ ) t.c.

$$f(\mathbf{p} + k\vec{\mathbf{d}}) = 0$$



34

### Esempio: Intersezione raggio sfera 2/3

$$f(\mathbf{p} + k\vec{d}) = 0$$

$$\Leftrightarrow \|\mathbf{p} + k\vec{d} - \mathbf{c}\|^2 - r^2 = 0$$

$$\Leftrightarrow \|(\mathbf{p} - \mathbf{c}) + k\vec{d}\|^2 - r^2 = 0$$

$$\Leftrightarrow \left( (\mathbf{p} - \mathbf{c}) + k\vec{d} \right) \cdot \left( (\mathbf{p} - \mathbf{c}) + k\vec{d} \right) - r^2 = 0$$

$\|\vec{v}\|^2 = \vec{v} \cdot \vec{v}$

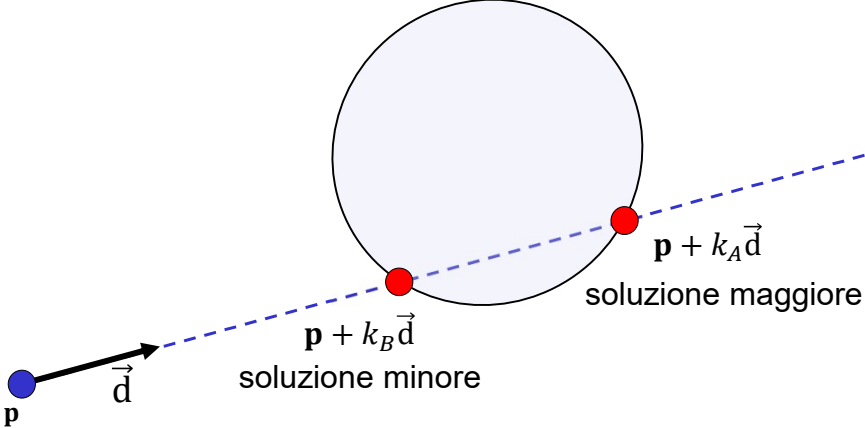
$$\Leftrightarrow k^2 \underbrace{\|\vec{d}\|^2}_a + k \underbrace{2(\mathbf{p} - \mathbf{c}) \cdot \vec{d}}_b + \underbrace{\|\mathbf{p} - \mathbf{c}\|^2 - r^2}_c = 0$$

Equazione 2° grado in  $k$ . Prendo la soluzione minore delle 2.  
 Se è  $> 0$  allora abbiamo trovato  $k$  e quindi anche il punto di intersezione.



35

### Esempio: Intersezione raggio sfera 3/3



$$k_{A,B} = \frac{-b \pm \sqrt{b^2 - 4ac}}{2a}$$

devo ovviamente considerare la soluzione minore  
 (quella col segno -)



36

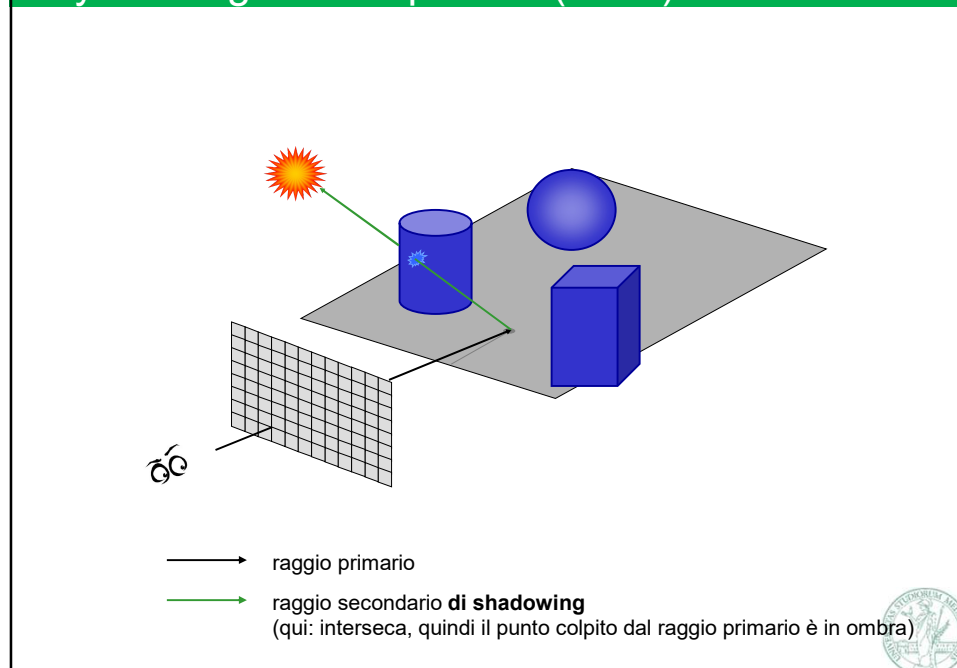
## Ray Tracing (classe di algoritmi)

- ✓ Seguendo la stessa idea per un altro passo...
- ✓ **Tracciamo** a ritroso il percorso dei fotoni
  - ⇒ non solo dal POV ad un punto su un oggetto 3D,
  - ⇒ ma dall'oggetto 3D all'emettitore della luce che ha emesso quel fotone
- ✓ Questo richiede di computare le intersezioni su un ulteriore raggio
  - ⇒ Detto di shadowing
  - ⇒ E' un esempio di raggio «secondario» (ne vedremo altri)
  - ⇒ Nota: è la *stessa* procedura, «intersezione raggio-primitiva», eseguita più volte per uno stesso pixel.
- ✓ Algoritmi basati su tracciamento di raggi sono detti di Ray-Tracing (compreso il semplice ray-casting)

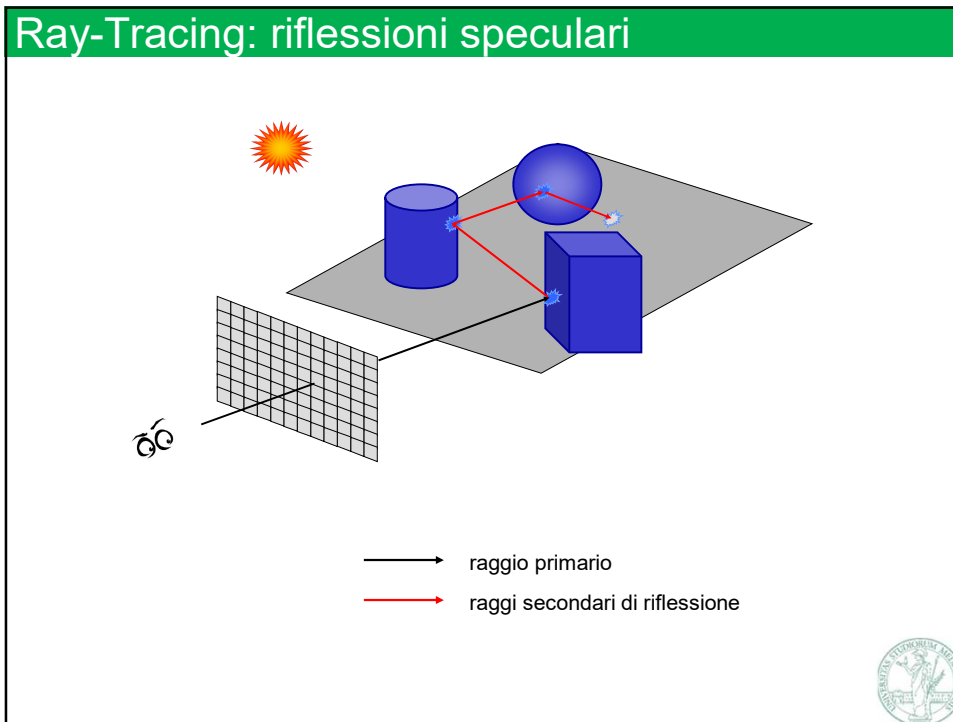


37

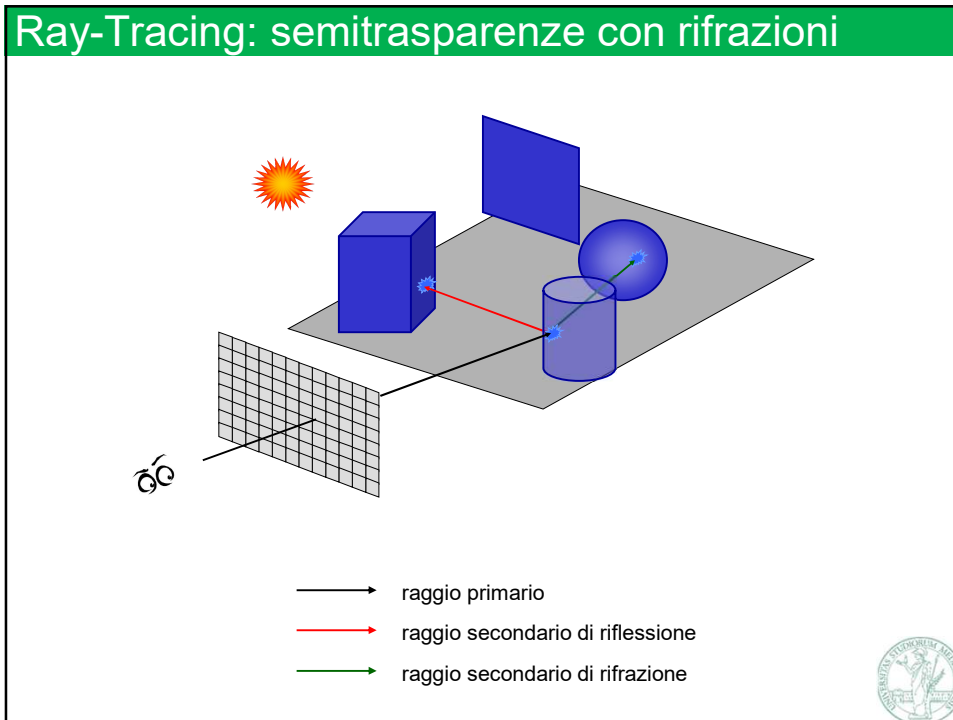
## Ray-Tracing: ombre portate (nette)



38



39



40

### Computo del raggio secondario di shadowing

il raggio che parte da  $\mathbf{p}$  e prosegue in direzione  $\vec{\mathbf{d}}$

$\mathbf{p}$   $\vec{\mathbf{d}}$   $\mathbf{q}$   $\vec{\mathbf{e}}$   $\mathbf{s}$  posizione dell'emettitore di luce

raggio primario  
raggio secondario

- ✓ Raggio primario:  $(\mathbf{p}, \vec{\mathbf{d}})$
- ✓ Punto colpito:  $\mathbf{q} = \mathbf{p} + k \vec{\mathbf{d}}$  (per un certo  $k$ )
- ✓ Raggio di shadowing:  $(\mathbf{q}, \vec{\mathbf{e}})$ , con  $\vec{\mathbf{e}} = \frac{(\mathbf{s} - \mathbf{q})}{\|\mathbf{s} - \mathbf{q}\|}$



41

### Computo del raggio secondario di riflessione

$\mathbf{p}$   $\vec{\mathbf{d}}$   $\mathbf{q}$   $\vec{\mathbf{d}}_R$   $\hat{\mathbf{n}}$

raggio primario

- ✓ Raggio primario:  $(\mathbf{p}, \vec{\mathbf{d}})$
- ✓ Punto colpito:  $\mathbf{q} = \mathbf{p} + k \vec{\mathbf{d}}$  (per un certo  $k$ )
- ✓ Raggio di riflessione:  $(\mathbf{q}, \vec{\mathbf{d}}_R)$ ,  
 con  $\vec{\mathbf{d}}_R$  il vettore  $\vec{\mathbf{d}}$  riflesso da un piano di normale  $\hat{\mathbf{n}}$

Normale della superficie in  $\mathbf{q}$



42

### Computo di una direzione riflessa da un piano

$\vec{d}_R = \vec{d} + 2 h \hat{n}$   
 dove  
 $h = (-\vec{d} \cdot \hat{n})$

43

### Computo del raggio secondario di rifrazione

✓ Raggio primario:  $(\mathbf{p}, \vec{d})$   
 ✓ Punto colpito:  $\mathbf{q} = \mathbf{p} + k \vec{d}$  (per un certo  $k$ )  
 ✓ Raggio di rifrazione:  $(\mathbf{q}, \vec{d}_F)$ ,  
 con  $\vec{d}_F$  il vettore  $\vec{d}$  rifranto da un piano di normale  $\hat{n}$   
 La formula della direzione rifranta  $\vec{d}_F$  (che non vediamo)  
 dipende dall'«*indice di rifrazione*» del materiale

44

## Come computare la direzione raggio riflesso?

### ✓ Input:

- ⇒ Direzione del raggio primario
- ⇒ Normale della superficie nel punto colpito dal raggio primario

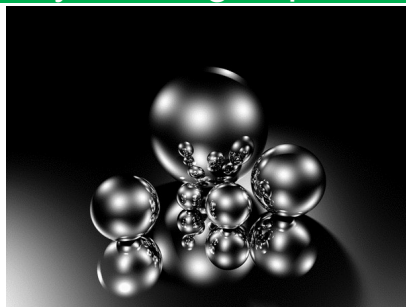
### ✓ Output:

- ⇒ Direzione del raggio secondario
- ⇒ (insieme alla posizione colpita dal raggio primario, questo modella il raggio secondario di riflessione)



45

## Ray-Tracing : tipici esempi di risultati



(Advanced Rendering Toolkit - Alexander Wilkie - 1999)

(with CUDA)



50

## Algoritmi di Ray-tracing: efficienza

- ✓ Un'implementazione triviale per
  - ⇒ una scena con  $M$  oggetti («primitive»)
  - ⇒ immagini  $N \times N$  pixel
  - ⇒ con  $K$  raggi per pixel (1 primario e  $K-1$  secondari)richiede ben  $N^2 M K$  intersezioni raggio-primitiva!
  - ⇒ È un numero molto molto elevato
  - ⇒ Complessità temporale dell'algoritmo:  $O(N^2 M K)$
  - ⇒ Per questo motivo, questo tipo di algoritmi è usato soprattutto per il **rendering offline**
- ✓ Sono possibili però ottimizzazioni...
  - ⇒ per testare solo un sottoinsieme delle primitive
  - ⇒ **Implementazioni parallelizzate** attraverso GPU (infatti ogni pixel può essere computato indipendentemente dagli altri: elevato livello di **parallelismo implicito** )



51

## Ray tracing: alcune varianti

- ✓ Molti algoritmi e varianti si basano su principi simili.
- ✓ Alcuni di questi:
  - ⇒ **Ray-casting**:
    - un solo raggio (primario) viene “mandato” (*cast*) per pixel
  - ⇒ **Ray-tracing**:
    - Ogni raggio viene “tracciato” (*traced*) attraverso vari fenomeni successivi riflessione o rifrazione, attraverso raggi secondari
    - Nota: in ordine inverso rispetto alla realtà, come al solito
    - (è anche il usato come nome della classe generale di questi algoritmi)
  - ⇒ **Path-tracing**:
    - Per ogni pixel, lanciare molti raggi, che seguono i path pseudo-casuali (“monte carlo sampling”) con una distribuzione che riflette quella reale
    - Mediare i risultati per ottenere il pixel finale
    - Più raggi vengono mandati, maggiore il realismo
  - ⇒ **Ray-marching**:
    - Una classe di algoritmi per accelerare l'intersezione raggio-primitiva
    - Principio: raggio viene spezzato in una serie di passi (segmenti) successivi, per ciascuno dei quali si devono testare solo le primitive a lui vicine (invece di tutte)

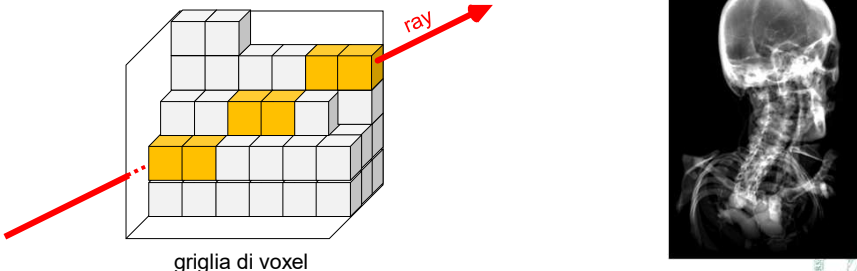
Nota:  
questa  
terminologia  
può variare  
leggermente  
da una fonte  
all'altra



53

### Esempi: Ray tracing su alcuni tipi di modelli visti

- ✓ Raytracing di volume di voxel:  
(con ciascun voxel = valore di densità)
  - ⇒ È una forma comune di **direct volume rendering**
  - ⇒ Per ogni raggio primario, identifico i voxel attraversati
  - ⇒ Assegno il pixel corrispondente ad una funzione di tutti i valori di intensità dei voxel attraversati
  - ⇒ per esempio, banalmente, il tono di grigio corrispondente al valore max

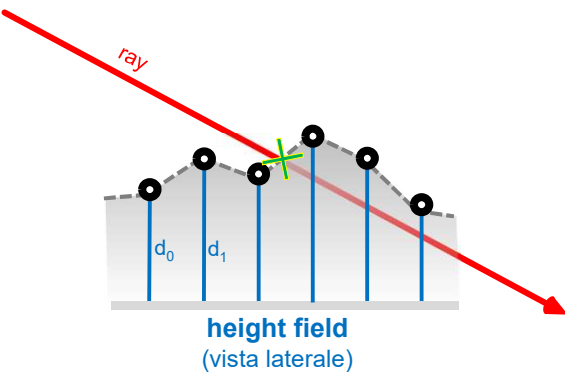


The diagram on the left shows a 3D grid of voxels, with some highlighted in yellow. A red arrow labeled 'ray' passes through the grid. Below it is the text 'griglia di voxel'. To the right is an X-ray image of a human skull, with a small circular logo in the bottom right corner.

54

### Esempi: Ray tracing su alcuni tipi di modelli visti

- ✓ Raytracing di Campi di Altezza (schema)
  - ⇒ Tracciare il raggio sulla griglia 2D di altezze  $x, y$
  - ⇒ Trovare la prima posizione in cui la  $z$  del raggio cade sotto l'Altezza a coordinate  $[x][y]$



The diagram shows a 2D height field represented by a series of vertical bars of varying heights. A red arrow labeled 'ray' is shown passing through the field. The first bar it intersects is labeled  $d_0$ , and the next is  $d_1$ . Below the field is the text 'height field (vista laterale)'. A small circular logo is in the bottom right corner.

55

### Esempi: Ray tracing su alcuni tipi di modelli visti

✓ Raytracing di CSM (schema):

- ⇒ Trovare *tutte* le intersezioni  $\mathbf{p} + k_i \vec{d}$  con *tutte* le foglie della funz  $F$
- ⇒ Ordinarle per  $k_i$
- ⇒ Trovare la prima intersezione in cui  $F(\mathbf{p} + k_i \vec{d}) = 0$
- ⇒ Esempio con:  
 $F = \min(A, \max(B, -C))$

```

            graph TD
            min(min) --- A[A]
            min --- max(max)
            max --- B[B]
            max --- neg(-)
            neg --- C[C]
            
```

56

### Esempi: Ray tracing su alcuni tipi di modelli visti

✓ Raytracing di tri-mesh

- ⇒ Per ogni triangolo:  
 trovare l'intersezione  $\mathbf{p} + k_i \vec{d}$  raggio-triangolo, se esiste (come implementare questo calcolo?)
- ⇒ Prendere l'intersezione con il  $k_i$  minore

E' una soluzione molto generale, perché è sempre possibile tradurre i nostri modelli 3D in una mesh. Ma può essere una soluzione molto onerosa, (richiede ottimizzazioni, che non vediamo) e la discretizzazione introduce errori

57